

**EMPREGO DA TÉCNICA BIDIMENSIONAL DE CORRELAÇÃO HETERONUCLEAR,  
COM ACOPLAMENTO A LONGA DISTÂNCIA, EM DIIDROCHALCONA**

Lucia M. Conserva<sup>a</sup>, Luiz C. Roque<sup>a</sup>, Massayoshi Yoshida<sup>a</sup> e  
Juan C. Martinez V.<sup>b</sup>

<sup>a</sup>*Instituto de Química, Universidade de São Paulo, 05508 São Paulo, SP, Brasil*

<sup>b</sup>*Departamento de Química, Universidad Nacional de Colombia, AA 14490 Bogotá, Colombia*

Recebido em 02/08/89

## ABSTRACT

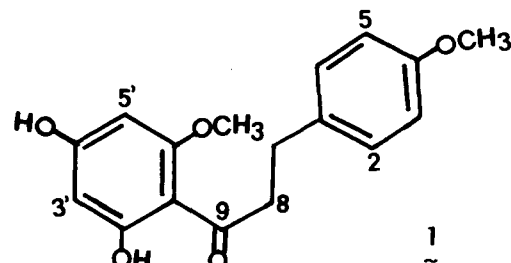
Unambiguous assignment of the  $^1\text{H}$  and  $^{13}\text{C}$  NMR signals of a dihydrochalcone, 2',4'-dihydroxy-4,6'-dimethoxydihydrochalcone, was performed through heteronuclear shift correlated 2D NMR spectrum obtained using pulse sequence with delays related to  $J = 7 \text{ Hz}$  (long range coupling).

## INTRODUÇÃO

A Ressonância Magnética Nuclear de  $^1\text{H}$  e de  $^{13}\text{C}$  tem se constituído em uma das técnicas mais eficientes na determinação estrutural de compostos orgânicos, quer naturais ou sintéticos. Entretanto, a interpretação dos espectros de substâncias requer muitas vezes a obtenção de informações, através de derivados espectroscópicamente mais elucidativos ou de dados de modelos disponíveis na literatura. Mesmo assim, algumas correlações entre deslocamentos químicos e núcleos de átomos permanecem indeterminadas. Os avanços de microprocessadores e de programas possibilitaram o desenvolvimento de novas técnicas de RMN, que vieram, em parte, sanar estas deficiências.

O presente trabalho relata o emprego de uma destas técnicas recentes, a Correlação Heteronuclear, utilizando acoplamento entre  $^{13}\text{C}$  e  $^1\text{H}$  a longa distância, que permite interpretar inequivocamente os sinais dos espectros de RMN de  $^1\text{H}$  e de  $^{13}\text{C}$ . Para este fim utilizou-se um constituinte do extrato hexânico de cascas da espécie *Iryanthera ulei* Warb. (Myristicaceae), a diidrochalcona *1*, que anteriormente havia sido isolada de *Iryanthera Laevis*.<sup>1,2</sup>

Este trabalho foi motivado pelo fato de ter sido observado que as atribuições feitas anteriormente para *1* não permitiam



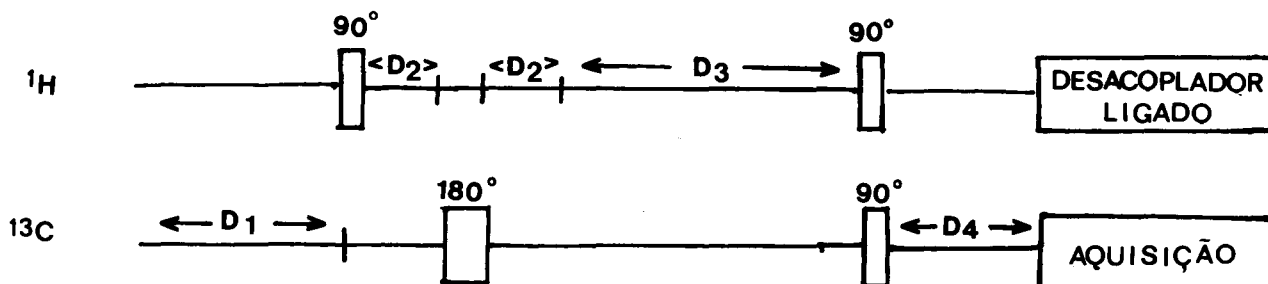
uma correlação definida na maioria dos valores de deslocamentos químicos de RMN de  $^1\text{H}$  e nem uma distinção precisa nos sinais de RMN de  $^{13}\text{C}$ , sobretudo de carbonos quaternários oxigenados e de carbonos metoxílicos.

## PARTE EXPERIMENTAL

O espectro de RMN Bidimensional de Correlação Heteronuclear (HETCOR) com acoplamento a longa distância ( $J = 7 \text{ Hz}$ ) de *1* foi registrado em um espetrômetro da BRUKER AC-200, operando em freqüências de 200 MHz para  $^1\text{H}$  e 50 MHz para  $^{13}\text{C}$ . A amostra para análise, contida num tubo de 5 mm de diâmetro, foi preparada dissolvendo cerca de 70 mg (0,23 mmoles) de *1* em 0,4 ml de acetona-d<sub>6</sub>.

A seqüência de pulsos utilizada (Esquema 1) foi introduzida por Freeman e Morris<sup>3</sup> e está contida no programa XHCORR.AU da BRUKER. Alguns parâmetros empregados foram anteriormente usados por Fischer *et al*<sup>4</sup>.

O acúmulo de dados para a obtenção do espectro necessitou de 12 horas, perfazendo um total de 1024 experimentos com 16 varreduras cada. O valor de  $D_1$  foi de 2 seg.,  $D_2 = 3 \mu\text{seg}$ ,  $D_3 = 71 \text{ msec}$  e  $D_4 = 36 \text{ msec}$ . O tempo necessário



*Esquema 1 Seqüência de pulsos*

para ocorrer uma transferência máxima de polarização foi obtido através da relação  $1/(2J)$ , onde o valor de  $J$  médio envolvendo duas ( $^2J$ ) ou três ( $^3J$ ) ligações é de 7 Hz. O intervalo de tempo  $D_4$ , que permite intensificar seletividade e eliminar linhas, é fornecido pela relação  $1/(4J)^5$ . Os tempos de duração do pulso de 90° para  $^1\text{H}$  e  $^{13}\text{C}$  foram, respectivamente, de 21,0 e 5,2 μ seg.

## RESULTADOS E DISCUSSÃO

O espectro de RMN em duas dimensões (Figura 1) da diidrochalcona 1 mostra claramente a existência de acoplamento  $^2\text{J}$  e  $^3\text{J}$  do próton da hidroxila quelada em δ 13,9 com os sinais de  $^{13}\text{C}$  em δ 168,3, δ 105,7 e δ 96,8. Este fato nos permite afirmar que estes valores de δ correspondem respectivamente aos C-2', C-1' e C-3'. Os prótons em δ 5,95 e δ 6,04, acoplados entre si, absorvem como dois dubletos com constante de acoplamento de 2 Hz (*meta*). O próton em δ 5,95 está correlacionado com os sinais em δ 168,3 (C-2') e δ 165,5, fato que permite atribuir este sinal (δ 5,95) ao H-3' e inferir δ 165,5 ao C-4'. Esta interpretação é confirmada pelo dubleto que absorve em δ 6,04, pois este (H-5') está correlacionado aos carbonos que absorvem em δ 165,5 (C-4') e δ 164,5, sendo este último atribuível ao C-6'.

O triploto em δ 3,26, correspondente ao sinal dos prótons H-8, é evidenciado pela correlação com os sinais em δ 205,1 (C-9), δ 46,9 e δ 30,6. Conseqüentemente, o triploto em δ 2,87 deve ser atribuído aos prótons H-7, pois este sinal está correlacionado com os carbonos que absorvem em δ 205,1 (C-9), δ 134,5 (C-1), δ 130,1 (C-2, C-6), δ 46,9 e δ 30,6. Estas informações permitem confirmar as atribuições dos sinais em δ 46,9 ao C-8 e em δ 30,6 ao C-7.

Os prótons do sistema AA'BB' do anel aromático absorvem como dois dubletos acoplados em *ortho* ( $J = 9$  Hz) em δ 7,15 e δ 6,82. Os prótons em δ 7,15 mostram correlações com os sinais de  $^{13}\text{C}$  em δ 158,8 e δ 130,1, ao passo que os prótons em δ 6,82 com os sinais em δ 134,5 e δ 114,5. A análise destes dados permite atribuir os sinais em δ 158,8 ao C-4 e δ 130,1 ao C-2(=C-6), e inferir os valores de δ 134,5 e δ 114,5 ao C-1 e C-3(=C-5), respectivamente. Conseqüentemente o H-2(=H-6) corresponde ao sinal em δ 7,15 e H-3(=H-5), ao sinal em δ 6,82.

A potencialidade desta técnica é notória quando se faz correlação  $^{13}\text{C}-^1\text{H}$  dos grupos metoxilicos. Observa-se que o sinal referente aos prótons do grupo metoxílico que absorve em δ 3,88 correlaciona com os sinais de  $^{13}\text{C}$  em δ 164,5 e δ 56,1, enquanto que o grupo que absorve em δ 3,74, com os sinais em δ 158,8 e δ 55,3. Estas correlações, além de diferenciarem os deslocamentos químicos de  $^1\text{H}$  e de  $^{13}\text{C}$  destes grupos e confirmarem a atribuição do C-6' em δ 164,5, permitem evidenciar a atribuição do sinal em δ 158,8 ao C-4. A confirmação desta atribuição é dada pelas correlações observadas com os sinais dos prótons que compõem o sistema AA'BB'.

As atribuições dos dados de RMN de  $^1\text{H}$  e de  $^{13}\text{C}$  efetuadas neste trabalho encontram-se respectivamente nas Tabelas 1 e 2 (acima), juntamente com as interpretações registradas na literatura.

A Figura 1 mostra que empregando os parâmetros descritos por Fisher *et al.*, não ocorreu supressão dos sinais de acoplamento  $^{13}\text{C}-^1\text{H}$  a uma ligação ( $^1\text{J}$ ) pois a seqüência de pulsos do programa utilizado, ainda não incorpora pulsos adicionais do BIRD (Bilinear Rotation Decoupling).

Finalmente observou-se que utilizando os mesmos parâme-

TABELA 1 - Dados de RMN de  $^1\text{H}$   $[(\text{CD}_3)_2\text{CD}$ , δ, multiplicidade, J em Hz entre parênteses].

	$I$ (100 MHz) <sup>1</sup>	6,82	d (9)
H-3, H-5			
H-2, H-6	6,84 d (9) e 7,20 d (9))	7,15	d (9)
H-7		2,87	t (7)
H-8	2,88 t (7,5) e 3,28 t (7,5)	3,26	t (7)
H-3'		5,95	d (2)
H-5'	5,97 d (2) e 6,04 d (2)	6,04	d (2)
4-OCH <sub>3</sub>		3,74	s
6'-DCH <sub>3</sub>	3,77 s e 3,90 s	3,88	s
2'-DH		13,90	s
4'-DH		9,48	s

s = singlet, d = dubleto e t = triploto.

TABELA 2 - Dados de RMN de  $^{13}\text{C}$   $[(\text{CD}_3)_2\text{CD}$ , δ ]

Carbonos	$I$ (20 MHz) <sup>1</sup>	$I$ (20 MHz) <sup>2</sup>	$I$
1	(s)	—	134,6
2	(d)	130,1	130,1
3	(d)	114,6	114,6
4	(s)	—	158,9
5	(d)	114,6	114,6
6	(d)	130,1	130,1
7	(t)	30,6	30,7
8	(t)	46,4	46,6
9	(s)	206,8	205,0
1'	(s)	—	105,0
2'	(s)	—	164,5
3'	(d)	96,9	97,0
4'	(s)	—	165,7
5'	(d)	91,9	92,0
6'	(s)	—	168,2
4-DCH <sub>3</sub>	(q)	55,9	55,9; 56,1
6'-DCH <sub>3</sub>	(q)		56,1

s = singlet, d = dubleto, t = triploto e q = quarteto. Esta multiplicidade corresponde a J de uma ligação.

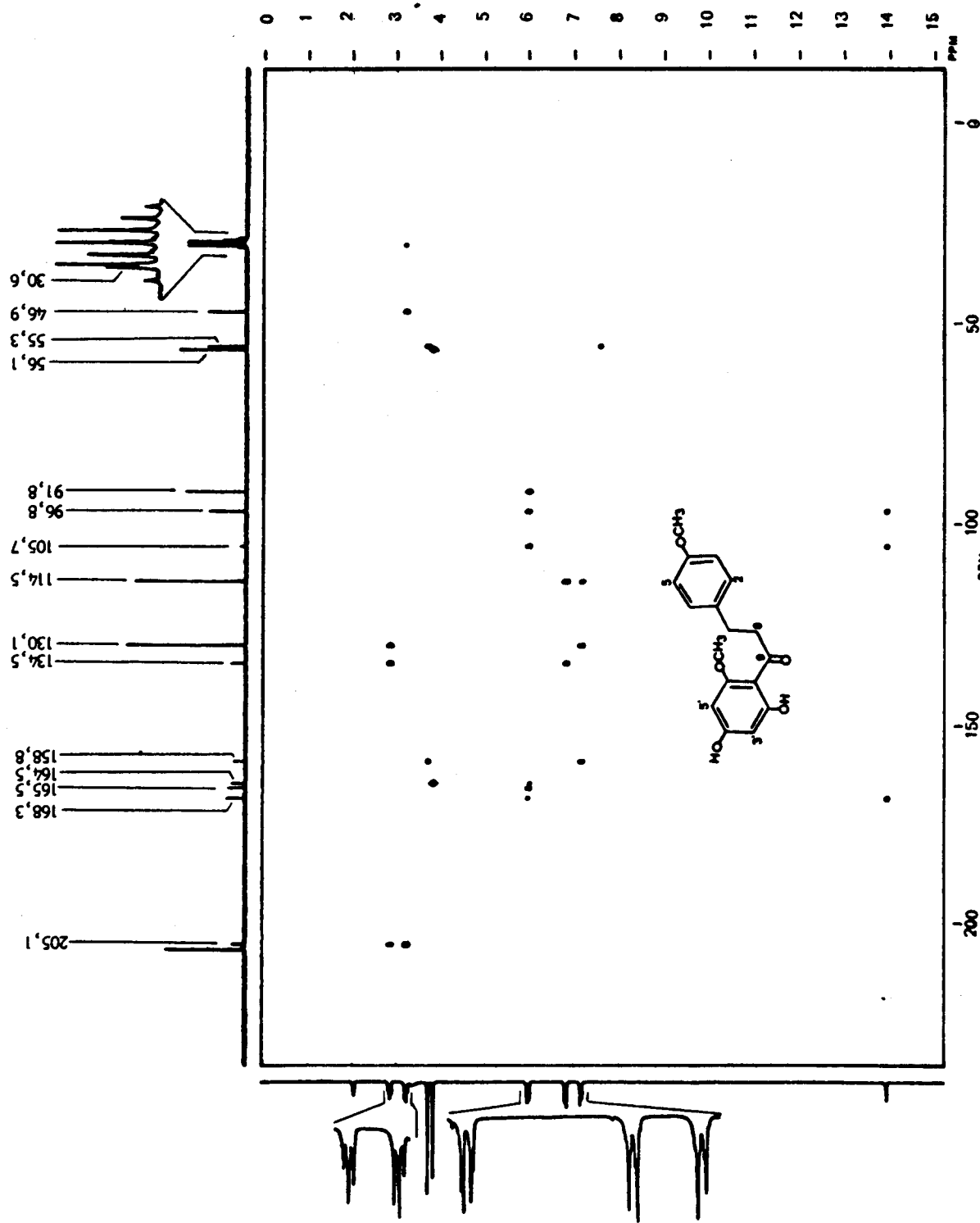
tos, a seqüência de pulsos introduzida por Freeman e Morris forneceu informações mais precisas do que a seqüência introduzida por Kessler *et al.*, contida no programa COLOC.AU da BRUKER. Na seqüência de pulsos deste último, apesar de incluir um pulso adicional de 180° na freqüência de ressonância de  $^1\text{H}$ , a seletividade de supressão dos sinais foi inferior à seqüência empregada neste trabalho.

## AGRADECIMENTOS

Os autores agradecem os auxílios financeiros e bolsas recebidos de FINEP, CNPq, CAPES e FAPESP.

## REFERÊNCIAS

- Braz-Filho, R.; Silva, M.S. da; Gottlieb, O.R.; *Phytochemistry* (1980), 19, 1195.
- Garzon, L.; Cuca, L.E.; Martinez, J.C.; Yoshida, M.; Gottlieb, D.R.; *Phytochemistry* (1987), 26, 2835.
- Freeman, R.; Morris, G.A.; *J. Chem. Soc. Commun.* (1978), 684.
- Hernandez, H.P.; Fischer, N.H.; *Spectroscopy Lett.* (1988), 21, 927.
- Martin, G.E.; Zektzer, A.S.; *Magn. Reson. Chem.* (1988), 26, 631.
- Kessler, H.; Griesinger, C.; Zarbock, J.; Loosli, H.R.; *J. Magn. Reson.* (1984), 57, 331.



*Figura 1. Espectro Hetcor de I.*